

Erratum to JUVAN et al. (2013) in Tuexenia 33

In JUVAN et al. (2013), a post-acceptance publication error resulted in printing wrong Figures 1, 3, 4, 5 and 6. We publish the corrected Figures and their captions below.

Erratum zu JUVAN et al. (2013) in Tuexenia 33

In JUVAN et al. (2013) resultierte ein Fehler nach der Annahme des Manuskripts zum Druck falscher Abbildungen 1, 3, 4, 5 und 6. Wir publizieren die korrigierten Abbildungen mit ihren Unterschriften im Folgenden.

JUVAN, N., KOŠIR, P., MARINŠEK, A., PAUŠIČ, A. & ČARNI, A. (2013): Differentiation of the *Piceetalia* and *Athyrio-Piceetalia* forests in Slovenia. – Tuexenia 33: 25–48.

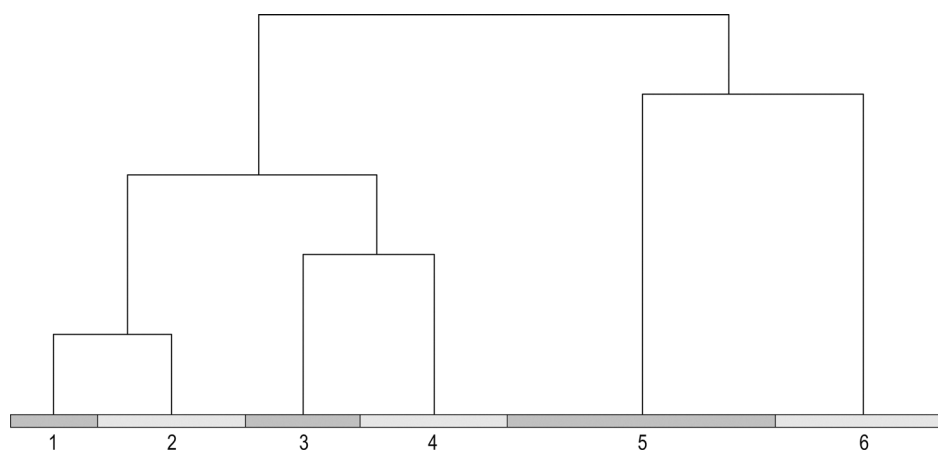


Fig. 1. Simplified cluster dendrogram of spruce forests data. Clusters 1–4 are found on carbonate bedrock, clusters 5–6 on non-carbonate bedrock. Legend: 1 – zonal, altimontane SFF, 2 – secondary SFF, 3 – frost hollows SFF, 4 – boulder scree SFF, 5 – altitudinal SFF, 6 – lowland SFF.

Abb. 1. Dendrogramm der Clusteranalyse von Daten aus Fichten-, Lärchen- und Tannenwäldern. Cluster 1-4 auf Carbonatgesteinen, Cluster 5-6 auf carbonatfreien Gesteinen. Legende: 1 – höhenzonal, 2 – sekundär, 3 – Kaltluftsenken, 4 – Blockhalden, 5 – Hochlagen 6 – Tiefland.

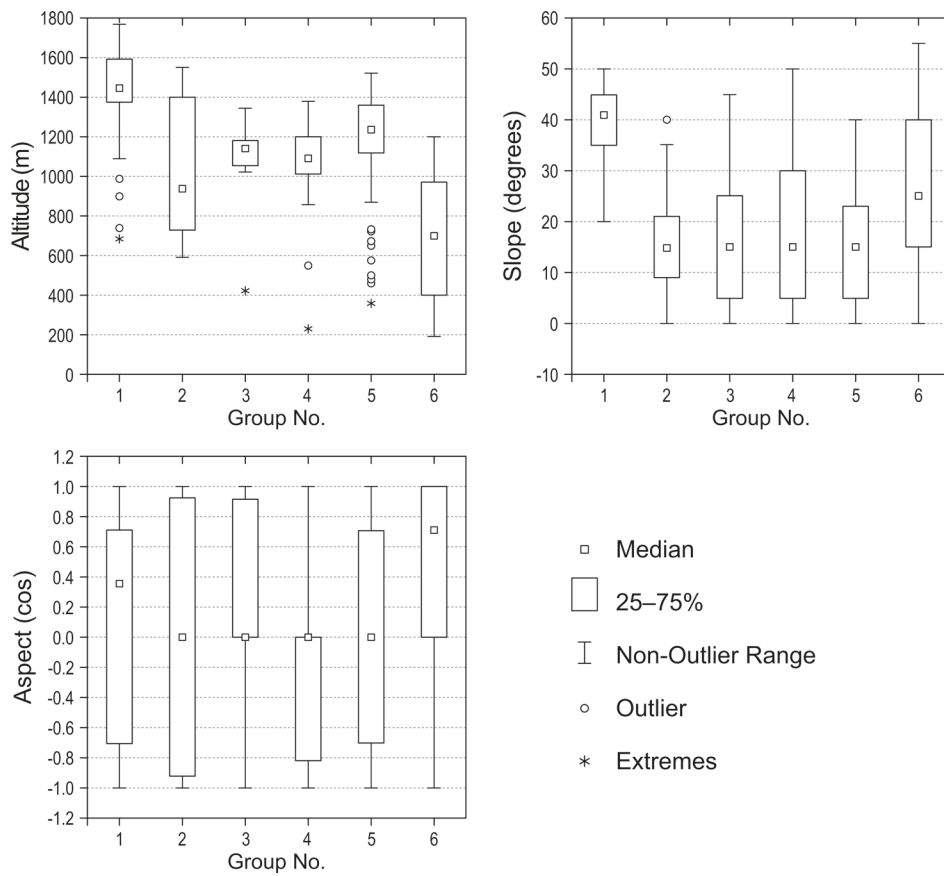


Fig. 3. Comparison of altitude, slope and aspect for studied groups. Median values, interquartile distance, maximum and minimum, outliers and extreme values are shown. Group numbers correspond to those in Fig. 1.

Abb. 3. Vergleich von Höhe, Hangneigung und Exposition der Untersuchungsgruppen. Medianwerte, Interquartilsabstand, Maximum und Minimum, Ausreißer- und Extremwerte werden dargestellt. Die Gruppennummern entsprechen denen in Abb. 1.

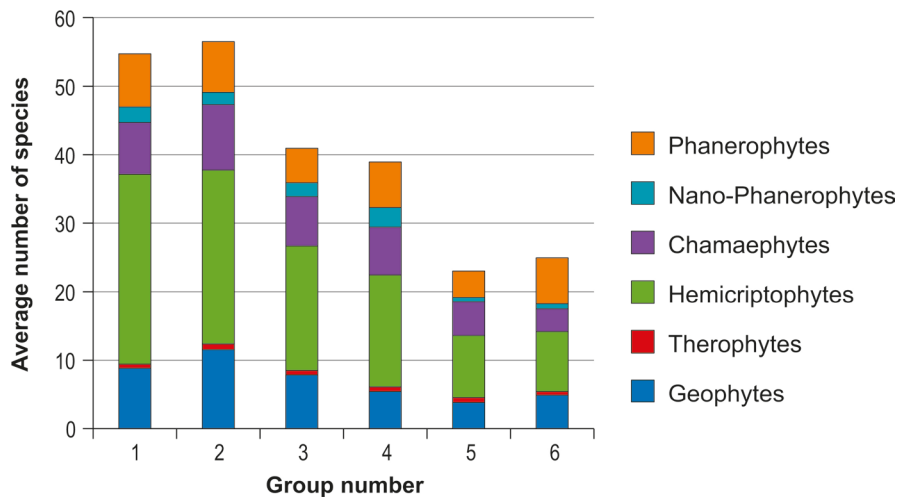


Fig.4. Life form structure in the SFF. Group numbers correspond to those in Fig. 1.

Abb. 4. Struktur der Lebensform in der Fichten-, Lärchen- und Tannenwälder. Die Gruppennummern entsprechen denen in Abb. 1.

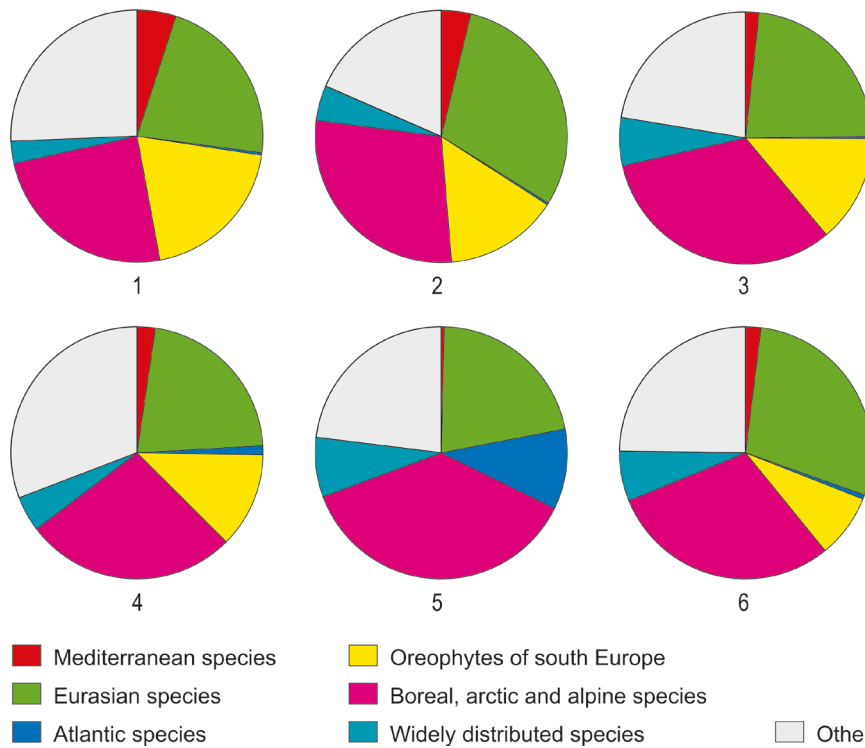


Fig. 5. Proportion of chorotypes in the SFF. Group numbers correspond to those in Fig. 1.

Abb. 5. Anteil der Chorotypen in den sechs Typen von Fichten-, Lärchen- und Tannenwälder. Die Gruppennummern entsprechen denen in Abb. 1.

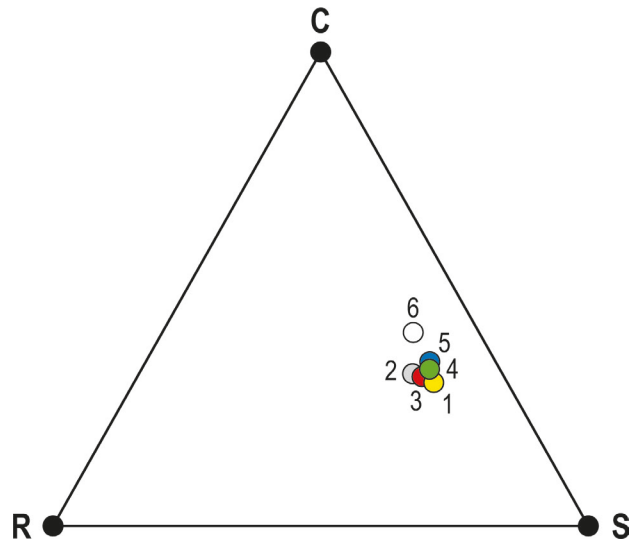


Fig. 6. Position of groups in the Grime triangle model of C, S and R strategies. Group numbers correspond to those in Fig. 1.

Abb. 6. Lage der Gruppen im Grime-Dreiecksmodell der C-, S- und R-Strategien. Die Gruppennummern entsprechen denen in Abb. 1.